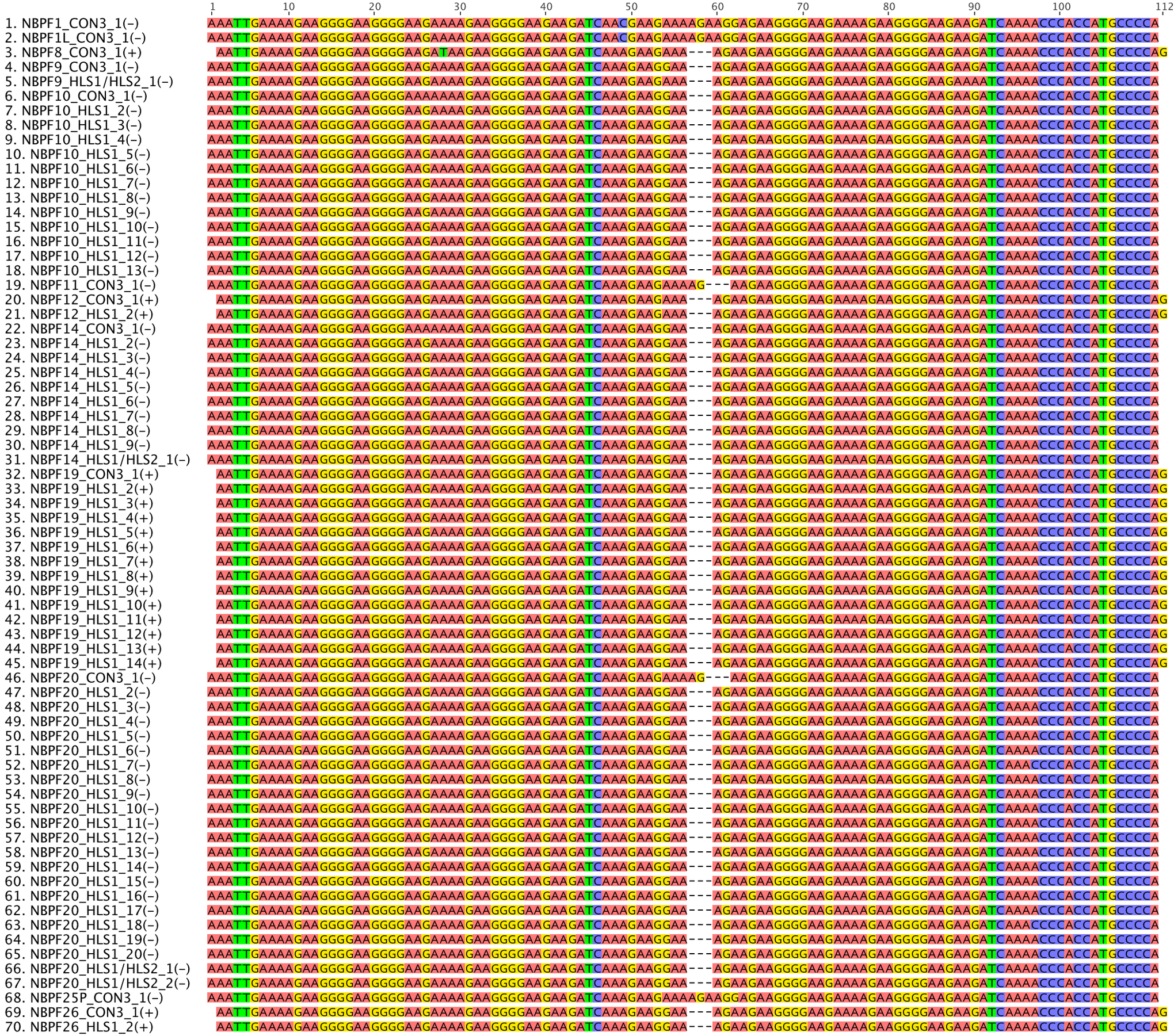
1 10 20 30 40 50 60 70 80 90 100 112
1. NBPF1_CON3_1(-)
2. NBPF1L_CON3_1(-)
3. NBPF8_CON3_1(+)
4. NBPF9_CON3_1(-)
5. NBPF9_HLS1/HLS2_1(-)
6. NBPF10_CON3_1(-)
7. NBPF10_HLS1_2(-)
8. NBPF10_HLS1_3(-)
9. NBPF10_HLS1_4(-)
10. NBPF10_HLS1_5(-)
11. NBPF10_HLS1_6(-)
12. NBPF10_HLS1_7(-)
13. NBPF10_HLS1_8(-)
14. NBPF10_HLS1_9(-)
15. NBPF10_HLS1_10(-)
16. NBPF10_HLS1_11(-)
17. NBPF10_HLS1_12(-)
18. NBPF10_HLS1_13(-)
19. NBPF11_CON3_1(-)
20. NBPF12_CON3_1(+)
21. NBPF12_HLS1_2(+)
22. NBPF14_CON3_1(-)
23. NBPF14_HLS1_2(-)
24. NBPF14_HLS1_3(-)
25. NBPF14_HLS1_4(-)
26. NBPF14_HLS1_5(-)
27. NBPF14_HLS1_6(-)
28. NBPF14_HLS1_7(-)
29. NBPF14_HLS1_8(-)
30. NBPF14_HLS1_9(-)
31. NBPF14_HLS1/HLS2_1(-)
32. NBPF19_CON3_1(+)
33. NBPF19_HLS1_2(+)
34. NBPF19_HLS1_3(+)
35. NBPF19_HLS1_4(+)
36. NBPF19_HLS1_5(+)
37. NBPF19_HLS1_6(+)
38. NBPF19_HLS1_7(+)
39. NBPF19_HLS1_8(+)
40. NBPF19_HLS1_9(+)
41. NBPF19_HLS1_10(+)
42. NBPF19_HLS1_11(+)
43. NBPF19_HLS1_12(+)
44. NBPF19_HLS1_13(+)
45. NBPF19_HLS1_14(+)
46. NBPF20_CON3_1(-)
47. NBPF20_HLS1_2(-)
48. NBPF20_HLS1_3(-)
49. NBPF20_HLS1_4(-)
50. NBPF20_HLS1_5(-)
51. NBPF20_HLS1_6(-)
52. NBPF20_HLS1_7(-)
53. NBPF20_HLS1_8(-)
54. NBPF20_HLS1_9(-)
55. NBPF20_HLS1_10(-)
56. NBPF20_HLS1_11(-)
57. NBPF20_HLS1_12(-)
58. NBPF20_HLS1_13(-)
59. NBPF20_HLS1_14(-)
60. NBPF20_HLS1_15(-)
61. NBPF20_HLS1_16(-)
62. NBPF20_HLS1_17(-)
63. NBPF20_HLS1_18(-)
64. NBPF20_HLS1_19(-)
65. NBPF20_HLS1_20(-)
66. NBPF20_HLS1/HLS2_1(-)
67. NBPF20_HLS1/HLS2_2(-)
68. NBPF25P_CON3_1(-)
69. NBPF26_CON3_1(+)
70. NBPF26_HLS1_2(+)